

文章编号: 1000-5013(2009)05 0530-03

# 纳米 Al<sub>2</sub>O<sub>3</sub>/MC 尼龙 6 原位复合材料的晶型转变

肖方兴, 林志勇, 王飞, 肖风英, 钱浩

(华侨大学 材料科学与工程学院, 福建泉州 362021)

**摘要:** 采用原位阴离子聚合法制备 PA6/Al<sub>2</sub>O<sub>3</sub> 纳米复合材料, 借助广角 X 射线衍射(WXRD)研究其晶型结构和晶型转变。结果表明, 淬冷样品均呈现单一的 γ 晶型; 在较高温度下退火 2 h 后, Al<sub>2</sub>O<sub>3</sub> 的引入更有利于基体 PA6 的 γ 晶型向 α 晶型转变; 纯 PA6 的 Bril 变温温度在 150~180 °C 之间, Al<sub>2</sub>O<sub>3</sub> 质量分数为 1.0% 的 PA6/Al<sub>2</sub>O<sub>3</sub> 原位复合材料的 Bril 变温温度 130~150 °C 之间。

**关键词:** 纳米 Al<sub>2</sub>O<sub>3</sub>; 单体浇铸; 尼龙 6; 复合材料; 晶型转变

中图分类号: TB 383.03

文献标识码: A

PA6 最常见的晶型是 α 晶型和 γ 晶型。Murthy 等<sup>[1-2]</sup>指出, PA6 从熔体淬冷倾向于形成 γ 晶型, 且不同温度退火处理将影响其晶型结构。在 130 °C 以下退火处理只形成 γ 晶型, 在 200 °C 以上处理形成 α 晶型, 而在 130~200 °C 之间处理则两种晶型并存<sup>[3-4]</sup>。Kojima 等<sup>[5]</sup>, Liu 等<sup>[6]</sup>研究发现, 添加粘土纳米微片有助于基体 PA6 γ 晶型的形成。有关 PA6 基纳米复合材料的研究报道很多<sup>[7-8]</sup>, 但采用原位阴离子聚合法制备 PA6/Al<sub>2</sub>O<sub>3</sub> 纳米复合材料的研究报道很少<sup>[9]</sup>, 而关于 PA6/Al<sub>2</sub>O<sub>3</sub> 原位纳米复合材料的晶型结构和晶型转变的研究还未见报道。本文在该方面进行了初步的探讨。

## 1 实验部分

### 1.1 试剂和仪器

纳米 Al<sub>2</sub>O<sub>3</sub>(在 150 °C 真空干燥 4 h, 浙江舟山明日纳米材料有限公司); ε 己内酰胺(工业级, 在 100 °C 真空干燥 4 h, 中国石化巴陵分公司); NaOH(分析纯, 相对分子质量为 40.00, 上海化学试剂公司); 甲苯-2,4-二异氰酸酯(2,4-TDI, 分析纯, 相对分子质量为 174.16, 上海凌峰化学试剂有限公司)。德国 Bruker D8 ADVANCE 粉末 X 射线衍射仪(CuKα 辐射, 波长为 0.154 nm, 管电压 40 kV, 电流 40 mA)。

### 1.2 PA6/Al<sub>2</sub>O<sub>3</sub> 原位复合材料的制备

ε 己内酰胺熔融、减压, 抽真空排出水分, 升温至 110 °C, 加入氢氧化钠并减压抽真空以完全排出水分。然后, 加入纳米 Al<sub>2</sub>O<sub>3</sub>, 于 140 °C 下超声分散 1 h。最后, 加入 2,4-TDI, 在 150 °C 下反应 1 h, 即制得 PA6/Al<sub>2</sub>O<sub>3</sub> 原位复合材料。

### 1.3 退火样品的制备与表征

切取适量的样品, 用锡箔包好并压实成片状, 置于油浴中熔融 20 min, 投入液氮淬火。然后, 在不同的退火温度( $t_a$ )下恒温 2 h, 空气冷却, 将所得片状样品进行 XRD 测试, 扫描范围为 20=5~35(°), 扫描速率为 2.0(°)·min<sup>-1</sup>。

## 2 结果与讨论

### 2.1 纳米 Al<sub>2</sub>O<sub>3</sub> 对 PA6/Al<sub>2</sub>O<sub>3</sub> 原位复合材料晶型结构的影响

PA6 与 PA6/Al<sub>2</sub>O<sub>3</sub> 原位复合材料在液氮中淬火的广角 X 射线衍射(WXRD)曲线, 如图 1 所示。从

收稿日期: 2008-12-02

通信作者: 林志勇(1964), 男, 教授, 主要从事复合材料与聚合物多相体系的研究。E-mail: @hqu.edu.cn

基金项目: 国家自然科学基金资助项目(50673030); 教育部科学技术研究重点项目(207146); 福建省自然科学基金资助项目(E0710014)

© 1994-2010 China Academic Journal Electronic Publishing House. All rights reserved. http://www.cnki.net

图 1 中可看到, PA6 及其原位复合材料从熔体淬冷后均呈现典型的  $\gamma$  晶型, 其衍射峰在  $2\theta = 21.8^\circ$  处, 对应于(002)晶面, 与文[5]报道相一致。PA6 与  $\text{PA6}/\text{Al}_2\text{O}_3$  原位复合材料淬冷样品在 130, 200 °C 退火 2 h 的 WAXD 谱图, 如图 2 所示。

由图 2(a) 可知, 纯 PA6 呈现单一的  $\gamma$  晶型衍射峰; 对于  $\text{PA6}/\text{Al}_2\text{O}_3$  原位复合材料, 则出现  $\alpha$  型晶体与  $\gamma$  型晶体共存的现象, 且随着复合材料中  $\text{Al}_2\text{O}_3$  质量分数的增加,  $\alpha$  晶型衍射峰越来越明显, 强度逐渐增强。这表明在 130 °C 退火 2 h 的条件下,  $\text{Al}_2\text{O}_3$  的存在更有利  $\alpha$  晶型的形成。

图 2(b) 中纯 PA6 仍呈现单一的  $\gamma$  晶型衍射峰, 而  $\text{PA6}/\text{Al}_2\text{O}_3$  原位复合材料则主要呈现典型的  $\alpha$  晶型衍射峰,  $\gamma$  晶型衍射峰强度很低。在  $\text{Al}_2\text{O}_3$  质量分数达到 5.0% 时(即 P-5 样品),  $\gamma$  晶型衍射峰几乎消失。这说明在 200 °C 的高温条件下退火 2 h,  $\text{Al}_2\text{O}_3$  的存在促进了基体 PA6 由  $\gamma$  晶型向  $\alpha$  晶型的转变, 且  $\text{Al}_2\text{O}_3$  质量分数越高, 转变越明显。

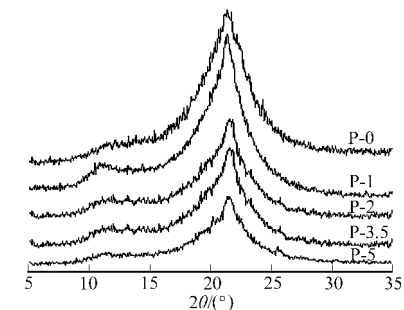
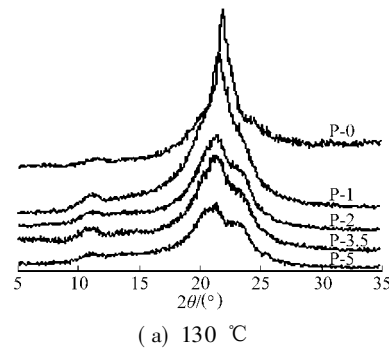
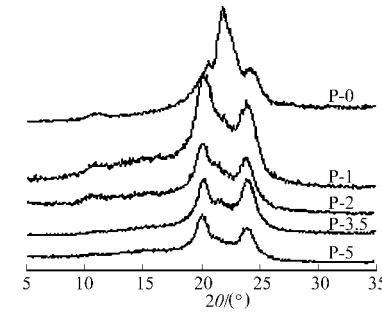


图 1 原位复合材料在液氮中淬火的 WXRD 曲线

Fig. 1 WXRD patterns of PA6 and  $\text{PA6}/\text{Al}_2\text{O}_3$  ir *situ* composites quenched in liquid nitrogen



(a) 130 °C



(b) 200 °C

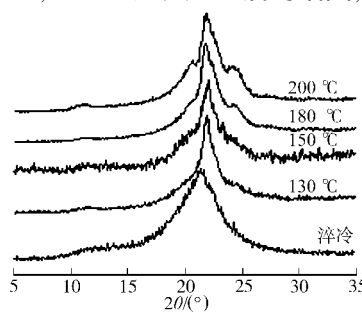
图 2 原位复合材料在退火后的 WXRD 曲线

Fig. 2 WXRD patterns of PA6 and  $\text{PA6}/\text{Al}_2\text{O}_3$  ir *situ* composites after anneal

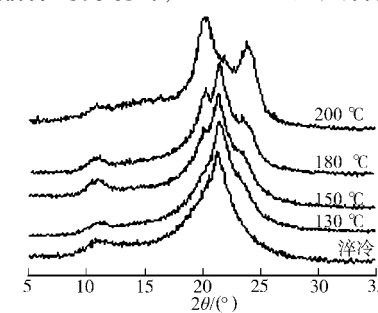
## 2.2 PA6/Al<sub>2</sub>O<sub>3</sub> 原位复合材料的晶型转变

纯 PA6(P-0) 在一系列不同温度下退火 2 h 后的 WXRD 曲线, 如图 3(a) 所示。由图 3(a) 可知, 随着退火温度的升高, PA6 的晶型结构发生了明显的变化。PA6 液氮淬冷样品, 在 130, 150 °C 退火 2 h 后, 样品均呈现单一的  $\gamma$  晶型衍射峰; 而在 180, 200 °C 退火 2 h 后, 样品则包含  $\alpha$ ,  $\gamma$  两种晶体, 但仍以  $\gamma$  晶型为主。也就是说, 纯 PA6 样品的 Brill 转变温度在 150~180 °C 之间。

对于  $\text{PA6}/\text{Al}_2\text{O}_3$  原位复合材料 P-1, 其在不同温度退火 2 h 后的 WXRD 曲线, 如图 3(b) 所示。从图 3(b) 中可以看到, 液氮淬冷 P-1 样品和其在 130 °C 退火 2 h 后的 WXRD 图仅呈现  $\gamma$  晶型衍射峰; 而淬冷样品在 150, 180 °C 退火 2 h 后的谱图, 则包含  $\alpha$ ,  $\gamma$  两种晶体的衍射峰, 且 180 °C 退火样品的  $\alpha$  晶型



(a) P-0



(b) P-1

图 3 在不同温度下退火后的 WXRD 曲线

Fig. 3 WXRD patterns of ir *situ* composites annealed at different temperatures

衍射峰强度更强, 但两个样品仍以  $\gamma$  晶型为主。淬冷样品在 200 °C 退火 2 h 后, 其 WXRD 谱图中  $\gamma$  晶型的衍射峰变为一个很小的峰,  $\alpha$  晶型衍射峰强度显著增强, 样品变为以  $\alpha$  晶型为主。此时, P-1 样品的

Brill 转变温度在 130~150 °C之间.

### 3 结束语

文[5, 10-12]的研究发现, 粘土纳米微片能诱导 PA6 的  $\gamma$  晶型的形成. 研究结果却表明, 纳米  $\text{Al}_2\text{O}_3$  的存在更有利于诱导  $\alpha$  晶型的形成. 但是, 它具体的机理还不清楚, 有待进一步研究.

#### 参考文献:

- [1] MURTHY N S. Metastable crystalline phases in nylon 6[J]. Polym Commun, 1991, 32(10): 301-305.
- [2] OKADA A, KAWASUMI M, TAJIMA I, et al. A solid state NMR study on crystalline forms of nylon 6[J]. J Appl Polym Sci, 1989, 37(5): 1363-1371.
- [3] ILLERS K H, HABERKORN H. Melting behaviour, structure and crystallinity of polyamide 6[J]. Makromol Chem, 1971, 142: 31.
- [4] KYOTANI M, MITSUHASHI S. Studies on crystalline forms of nylon 6 (II): Crystallization from the melt[J]. J Polym Sci (A-2): Polymer Physics, 1972, 10(8): 1497-1508.
- [5] KOJIMA Y, USUKI A, KAWASUMI M, et al. Mechanical properties of nylon 6/clay hybrid[J]. J Mater Res, 1993, 8(5): 1185-1189.
- [6] LIU Li min, QI Zong neng, ZHU Xiaoguang. Studies on nylon 6/clay nanocomposites by melt intercalation process [J]. J Appl Polym Sci, 1999, 71(7): 1133-1138.
- [7] HASEGAWA N, OKAMOTO H, KATO M, et al. Nylon 6/N $\sigma$  montmorillonite nanocomposites prepared by compounding nylon 6 with N $\sigma$  montmorillonite slurry[J]. Polymer, 2003, 44(10): 2933-2937.
- [8] HAN B, JI G, WU S, SHEN J. Preparation and characterization of nylon 66/montmorillonite nanocomposites with co-treated montmorillonites[J]. J Euro Polym, 2003, 39(8): 1641-1646.
- [9] LI Sun, YANG Jir Tao, LIN Ger Yao, et al. Crystallization and thermal properties of polyamide 6 composites filled with different nanofillers[J]. Mater Lett, 2007, 61(18): 3963-3966.
- [10] MOET A, AKELAH A. Polymer clay nanocomposites: Polystyrene grafted onto montmorillonite interlayers[J]. Mater Lett, 1993, 18(1/2): 97-102.
- [11] KOJIMA Y, MATSUOKA T, TAKAHASHI H, et al. Crystallization of nylon 6/clay hybrid by annealing under elevated pressure[J]. J Appl Polym Sci, 1994, 51(4): 683-687.
- [12] MATHIAS L J, DAVIS R D, JARRETT W L. Observation of  $\alpha$  and  $\gamma$  crystal forms and amorphous regions of nylon 6/clay nanocomposites using solid state  $^{15}\text{N}$  NMR[J]. Macromolecules, 1999, 32(23): 7958-7960.

## A Investigation on the Crystalline Structure of PA6/ Nano- $\text{Al}_2\text{O}_3$ In Situ Composites

XIAO Fang-xin, LIN Zhiryong, WANG Fei,  
XIAO Feng-ying, QIAN Hao

(College of Material Science and Engineering, Huaqiao University, Quanzhou 362021, China)

**Abstract:** PA6/nano- $\text{Al}_2\text{O}_3$  nanocomposites were prepared by in situ anionic polymerization. Wide angle X-ray diffraction (WXR) analysis was employed to investigate the crystal structure and Brill transition of PA6/nano- $\text{Al}_2\text{O}_3$  nanocomposites. It was found that quenched samples present  $\gamma$  crystal only and the introduction of nano- $\text{Al}_2\text{O}_3$  benefit the crystal transition from  $\gamma$  to  $\alpha$  for PA6/nano- $\text{Al}_2\text{O}_3$  nanocomposites annealed at higher temperatures. The Brill temperature was between 150 °C and 180 °C for neat PA6, and was between 130 °C and 150 °C for PA6/nano- $\text{Al}_2\text{O}_3$  nanocomposites loaded with 1.0% nano- $\text{Al}_2\text{O}_3$  content.

**Keywords:** nano- $\text{Al}_2\text{O}_3$ ; monomer casting nylon6; nanocomposite; crystalline transition

(责任编辑: 黄仲一 英文审校: 陈国华)

© 1994-2010 China Academic Journal Electronic Publishing House. All rights reserved. <http://www.cnki.net>